

DOI:10.3971/j.issn.1000-8578.2011.09.010

靶向 EGFR 基因的 shRNA 抑制胰腺癌 PANC-1 细胞增殖的研究

林远洪¹,雷小林¹,吴永忠²,高泽莉¹

Inhibition Effect of Pancreatic Cancer PANC-1 Cells by shRNA Targeting on EGFR

LIN Yuan-hong¹, LEI Xiao-lin¹, WU Yong-zhong², GAO Ze-li¹

1. Department of Tumor, The Affiliated Hospital of Panzhihua University, Panzhihua 617000, China; 2. Chongqing Tumor Institute

Abstract: Objective To explore the effect of EGFR gene on proliferation pancreatic cancer PANC-1 cells. Methods EGFR gene sequence-specific shRNA expression vector was constructed and then transfected into pancreatic cancer PANC-1 cells with lipofectamine. The EGFR mRNA and protein expression was detected by RT-PCR and Western blot. The cell cycle distribution and apoptosis were detected by cell flow cytometry. The proliferation of cells was detected by clone formation assay. Results Sequence-specific shRNA targeting on EGFR gene can obviously repress the mRNA and protein expression of EGFR gene, and EGFR mRNA and protein inhibition rates was 72.1% and 67.6%, respectively. The cell cycle in G₁ phase and S phase decreased ($P < 0.05$). The apoptosis of cells was increased ($P < 0.05$) and the colony-formation of cells was reduced ($P < 0.05$). Conclusion Sequence-specific shRNA targeting on EGFR gene can effectively inhibit proliferation and promote the apoptosis of pancreatic cancer cells.

Key words: RNA interference; EGFR; Pancreatic cancer

摘要: 目的 探讨 EGFR 基因对胰腺癌 PANC-1 细胞的增殖抑制作用。方法 构建针对 EGFR 序列特异性 shRNA 的表达载体,用脂质体转染胰腺癌 PANC-1 细胞。采用 RT-PCR、Western blot 检测 EGFR mRNA 和蛋白的表达;流式细胞仪检测细胞周期及凋亡;克隆形成实验检测细胞增殖。结果 靶向 EGFR 的序列特异性 shRNA 明显抑制 EGFR mRNA 和蛋白的表达,EGFR mRNA 和蛋白的抑制率分别为 72.1% 和 67.6%;G₁ 期细胞增多、S 期细胞减少 ($P < 0.05$);细胞凋亡增加 ($P < 0.05$);克隆形成减少 ($P < 0.05$)。结论 靶向 EGFR 的序列特异性 shRNA 能明显抑制胰腺癌细胞增殖、促进凋亡。

关键词: RNAi; 表皮生长因子受体; 胰腺癌

中图分类号:R735.9 文献标识码:A 文章编号:1000-8578(2011)09-1012-04

0 引言

近年来,胰腺癌的发病率在世界范围呈上升趋势,胰腺癌由于起病隐匿,早期症状不典型,确诊多属中晚期,已失去根治性手术机会,5 年生存率不到 5%,是预后最差的恶性肿瘤之一^[1]。表皮生长因子受体(epidemal growth factor receptor, EGFR)是相对分子量为 170 kD 的跨膜糖蛋白,具有酪氨酸激酶活性,在包括胰腺癌在内的多种恶性肿瘤中呈高表达。研究表明,EGFR 表达阳性的肿瘤细胞恶性程度更高、分化程度更差,侵袭性及转移力更强,对放

化疗抗拒,易复发,预后差^[2]。本研究旨在通过 RNAi 技术抑制 EGFR 基因的表达,期望抑制胰腺癌细胞增殖,为胰腺癌的基因治疗提供实验依据。

1 材料与方法

1.1 主要材料

胰腺癌 PANC-1 细胞株购自中科院上海细胞生物研究所;限制性内切酶 Sal I、BamH I、HindIII、DNA 连接酶购自大连宝生公司;胎牛血清购自杭州四季青公司;去内毒素质粒提取试剂购自 OMEGA 公司;脂质体 lipofectamine 2000 购自 Invitrogen 公司;鼠抗 EGFR 单克隆抗体购自 Santa 公司;蛋白提取试剂盒购自赛百盛公司;SDS-PAGE 凝胶购自博士德公司;总 RNA 提取试剂购自华舜公司;RT-PCR 试剂盒购自宝生公司;上、下游引物

收稿日期:2010-08-23;修回日期:2011-04-13

作者单位:1. 617000 四川攀枝花,攀枝花学院附属医院肿瘤科;2. 重庆市肿瘤研究所

作者简介:林远洪(1979-),男,硕士,主治医师,主要从事肿瘤基因治疗工作

由上海生物工程有限公司合成; Annexin V-FITC 细胞凋亡检测试剂盒购自美国 BD 公司。

1.2 方法

1.2.1 靶向 EGFR 基因的 shRNA 表达载体的构建及鉴定 根据 shRNA 的设计原则及质粒载体 pGenesil-1 的多克隆位点特点,选择 EGFR 家族同源性基因片段(TGGGGTCGTCAAAGACGTT)为模板,采用 Ambion 公司在线工具设计 shRNA 的结构为:*BamH I* + Sense + Loop + Antisense + 终止信号 + *Sal I* + *Hind III*,以此序列为为基础,中间加入 CUAUGGACA 茎环序列将其分隔为反向重复序列,在插入的目的基因片段里,设计了 *Sal I* 的酶切位点,插入在质粒载体 pGenesil-1 的 *Hind III* 和 *BamH I* 之间,若插入正确,就能被 *Sal I* 酶切出一条约 400 bp 的 DNA 小带。靶向 EGFR 基因的序列特异性 shRNA 质粒载体(pGenesil-E):正义链:5'-UGGGGUCGUCAAAGACGUU'-3';反义链:5'-ACCCCAGCAGUUUCUGCAA'-3';此外,经基因库比对无明显同源性后,与 EGFR 基因序列无关的非特异性 shRNA 质粒载体(pGenesil-N),正义链序列:5'-GCAGGUGCGGAAUUAUCUGU-3',反义链序列:5'-CGUCCACGCCUUUAUAGACA-3',送武汉晶赛生物工程公司合成。将合成好的序列退火形成双链,再与线性化 pGenesil-1 质粒表达载体连接,转化大肠杆菌 DH5 α ,在含 Kana 的 LB 平板筛选出阳性克隆,提取质粒行酶切鉴定,将鉴定正确的质粒送公司测序。

1.2.2 细胞培养及转染 胰腺癌 PANC-1 细胞株采用含 10% 胎牛血清的 RPMI 1640 培养液,置 37℃、5%CO₂ 细胞培养箱常规培养,细胞长满时,以 0.25% 胰酶消化传代。按 Lipofectamine 2000 说明书进行转染,实验分为 3 组:阳性组:转染特异性质粒(pGenesil-E),阴性组:转染非特异性质粒(pGenesil-N),对照组:予脂质体及转染液。

1.2.3 RT-PCR 检测 EGFR mRNA 的表达 转染后收集 3 组细胞,提取总 RNA,取定量好的 RNA 5 μ l,合成 cDNA,再通过 PCR 扩增,EGFR 引物序列:P1(上游)5'-AGGAGTGCCTGGAGGAAT-3'、P2(下游)5'-CTGCCGTCGCTTGATGAG-3',扩增产物为 425 bp,同时选取 GAPDH 作为内参照,GAPDH 引物序列:P1(上游):5'-AGGTCCAC-CACTGACACGTT'-3、P2(下游):5'-GCCT-CAAGATCATCAGCAAT'-3,扩增产物大小约 310 bp。(PCR 反应参数:94℃30 s,60℃30 s,72℃1 min,30 个循环,1.5% TAE 琼脂糖凝胶电泳检测)。目的条带采用凝胶成像分析系统分析,测定各

条带的灰度值,以 EGFR 与 GAPDH 条带灰度值的比值作为 EGFR mRNA 的相对表达水平。EGFR mRNA 表达的抑制率 = (1-实验组 EGFR mRNA 相对表达水平/对照组 EGFR mRNA 相对表达水平) $\times 100\%$ 。

1.2.4 Western blot 检测 EGFR 蛋白的表达 转染后收集 3 组细胞,提取蛋白;取经处理的蛋白样品各 15 μ l 进行电泳;电转至 PVDF 膜;取下该膜进行杂交,以 β -actin 作为内参照;化学发光试剂检测:放射自显影。检测用 LabworksTM 扫描分析软件系统检测出 EGFR 和 β -actin 的积分吸光度值,以 EGFR 与 β -actin 吸光度值的比值作为 EGFR 蛋白的相对表达水平。EGFR 蛋白表达的抑制率 = (1-实验组 EGFR 蛋白相对表达水平/对照组 EGFR 蛋白相对表达水平) $\times 100\%$ 。

1.2.5 流式细胞仪检测细胞凋亡 取对数生长期的各组细胞制成单细胞悬液,以每孔 5×10^4 个细胞接种于 24 孔培养板,常规培养,细胞转染 48 h 后常规消化,1 000 \times g 离心 5 min,PBS 洗 3 次,收集细胞,按 Annexin V-FITC 细胞凋亡检测试剂盒说明书操作,置流式细胞仪检测每组样本的凋亡率。

1.2.6 流式细胞仪检测细胞周期 取对数生长期的各组细胞制成单细胞悬液,以每孔 5×10^4 个细胞接种于 24 孔培养板,常规培养,细胞转染 48 h 后常规消化,1 000 \times g 离心 5 min,PBS 洗 3 次,用预冷的 70% 的乙醇固定液,离心收集细胞,加入碘化丙啶 1 ml 后 4℃ 避光培养 30 min,行流式细胞仪检测细胞周期。

1.2.7 克隆形成实验检测克隆形成率 将转染后的细胞置 37℃、5%CO₂ 细胞培养箱常规培养,连续 12 天,终止培养后常规以 PBS 缓冲液洗涤细胞,甲酇固定,采用姬姆萨(Giemsa)染液染色后,在显微镜下计数细胞数 >50 个的细胞克隆,计算克隆形成率(克隆形成率 = 克隆数/接种细胞数 $\times 100\%$)。

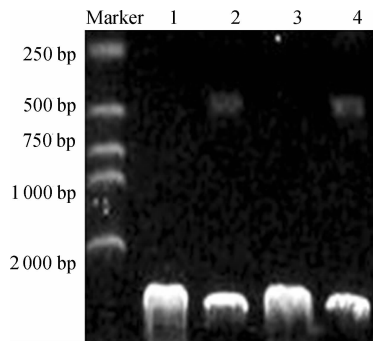
1.3 统计学方法

采用 SPSS11.0 统计软件处理,数据结果以 $\bar{x} \pm s$ 表示,计量资料用方差分析及 t 检验。

2 结果

2.1 重组质粒载体的鉴定结果

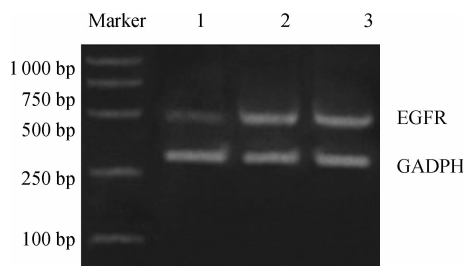
重组质粒载体经 *Sal I* 酶切的 pGenesil-E、pGenesil-N 在 400 bp 处见小片段,未酶切的质粒载体在 400 bp 处无小片段,酶切结果表明重组质粒载体构建成功。重组质粒载体经测序结果显示与 DNA 片段序列完全一致,进一步证明重组质粒载体构建成功,见图 1。



1: pGensil-E; 2: pGensil-E Sal I; 3: pGensil-N;
4: pGensil-N Sal I

图1 质粒载体酶切电泳图

Figure 1 The electropherogram of plasmid digested



1: positive group; 2: negative group; 3: control group

图2 EGFR mRNA的RT-PCR凝胶电泳图

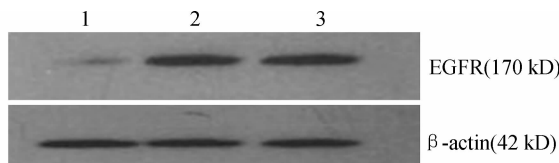
Figure 2 The RT-PCR electropherogram of EGFR mRNA

2.2 RT-PCR 检测结果

EGFR mRNA 的表达结果: 阳性组中 EGFR mRNA 条带(425 bp)的亮度明显弱于阴性组及对照组, 而 3 组中 GAPDH mRNA 条带(310 bp)的亮度相似; 阳性组与阴性组、对照组比较差异有统计学意义($P < 0.01$), 阴性组与对照组差异无统计学意义($P > 0.05$); 阳性组 EGFR mRNA 表达的抑制率为 72.1%, 见图 2。

2.3 Western blot 检测结果

EGFR 的蛋白表达结果: 阳性组中 EGFR 蛋白(170 kD)表达的强度明显弱于阴性组及对照组, 而 3 组中内参 β -actin(42 kD)的强度相似; 阳性组与阴性组、对照组差异有统计学意义($P < 0.01$), 阴性组与对照组差异无统计学意义($P > 0.05$), 阳性组 EGFR 蛋白表达的抑制率为 67.6%, 见图 3。



1: positive group; 2: negative group; 3: control group

图3 EGFR蛋白的Western blot示意图

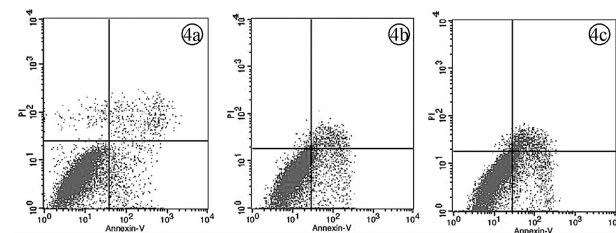
Figure 3 The Western blot diagram of EGFR protein

2.4 细胞周期与凋亡率

流式细胞仪检测结果, 阳性组中 G_0/G_1 期细胞比例增多, 而 S 期细胞减少, 且凋亡率明显增加; 阳性组与阴性组、对照组差异有统计学意义($P < 0.05$), 阴性组与对照组差异无统计学意义($P > 0.05$), 表明转染后阳性组细胞大部分阻滞在 G_1 期、凋亡增加、增殖受抑制, 见图 4、表 1。

2.5 克隆形成率

克隆形成结果: 阳性组克隆形成率为 (1.32 ± 0.24) , 阴性组克隆形成率为 (2.73 ± 0.56) , 对照组克隆形成率为 (2.54 ± 0.44) ; 阳性组与阴性组、对照组比较差异有统计学意义($P < 0.05$), 阴性组与对照组差异无统计学意义($P > 0.05$), 表明转染后阳性组细胞增殖明显受抑制, 见图 5。



4a: positive group; 4b: negative group; 4c: control group

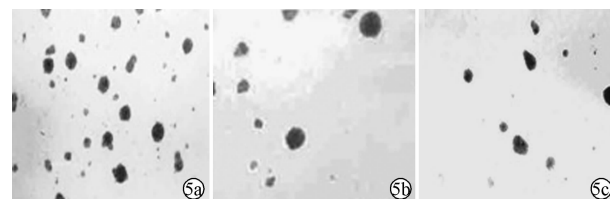
图4 流式细胞仪检测细胞周期及凋亡率

Figure 4 Cell cycle and apoptosis detected by flow cytometry

表1 转染EGFR后对PANC-1细胞周期的影响

Table 1 The effect of cell cycle after transfected with EGFR

Groups	Cell cycle			Apoptosis rate
	G_0/G_1	S	G_2/M	
Positive	68.4 ± 6.7	20.8 ± 2.4	9.3 ± 1.3	28.7 ± 4.2
Negative	46.3 ± 4.8	34.4 ± 4.5	15.2 ± 2.6	10.4 ± 1.8
Control	41.7 ± 2.9	37.5 ± 3.8	18.4 ± 3.5	13.6 ± 2.9



5a: positive group; 5b: negative group; 5c: control group

图5 转染EGFR后细胞克隆形成率(×100)

Figure 5 The clone formation assay after transfected with EGFR (×100)

3 讨论

RNA 干扰(RNA interference, RNAi)是 1998 年由 Fire 首次发现并命名的转录后水平的基因沉默现象, 也成为分子生物学研究中最为活跃的热点之一。RNA 干扰是指由双链 RNA 介导的、特定酶

参与的特异性基因沉默现象,它在转录水平、转录后水平和翻译水平上阻断基因的表达,它通过具有序列特异性的双链 RNA(double-stranded RNA, dsRNA)或短发夹状 RNA(short hairpin RNA, shRNA)与靶基因 mRNA 结合而导致目的基因表达下调^[3-4]。相对于传统的基因治疗, RNAi 具有高特异性、高效性、高稳定性、可扩散性、可遗传性等特点,在肿瘤基因研究和基因治疗中显示出强大的效果,可用于筛选抗肿瘤药物,还可以提高肿瘤细胞对放化疗的敏感度,极大促进了 RNA 干扰技术的应用^[5-6], RNAi 现象的发现为肿瘤的基因治疗提供了一种新的思路,通过 RNAi 技术抑制癌基因的表达,有可能成为肿瘤基因治疗的新策略,具有较好的应用前景^[7]。

胰腺癌是常见的消化道恶性肿瘤之一,也是死亡率最高的恶性肿瘤之一,胰腺癌的诊治仍是医学界的一大难题^[8]。肿瘤分子生物学的研究进展为从分子水平认识肿瘤提供了理论依据,也为肿瘤基因治疗带来新前景。研究表明胰腺癌中 EGFR 呈高表达,而正常胰腺导管上皮和腺泡仅轻度表达^[9],EGFR 的高表达和激活与肿瘤的恶性程度、分化程度、浸润程度、肿瘤耐药性、放化疗敏感度及预后等密切相关,可作为诊断及预后判断的指标^[10]。由于 EGFR 家族在细胞增殖、存活和分化中的重要作用,是目前研究最多的信号转导途径之一,成为公认的肿瘤基因治疗重要靶位,研究 EGFR 及针对 EGFR 的靶向药物,成为近年来抗肿瘤治疗的热点之一^[11]。

本研究根据 EGFR 基因在胰腺癌中呈高表达,构建了靶向 EGFR 基因的 shRNA 质粒载体,通过酶切及测序证实质粒载体构建成功;并将质粒载体成功转染胰腺癌 PANC-1 细胞,通过 RT-PCR、Western blot 检测到序列特异性的 shRNA 质粒载体明显抑制 EGFR 基因在转录和翻译水平的表达,EGFR 基因的 mRNA 和蛋白均显著降低;细胞周期检测显示:G₁期细胞增多、S 期细胞减少、细胞增殖受阻,细胞凋亡检测显示细胞凋亡增加,克隆形成实

验显示细胞增殖受抑制,表明细胞增殖受抑制与序列特异性的 shRNA 质粒载体抑制 EGFR 基因的表达有关。

总之,本研究表明应用 RNAi 技术抑制 EGFR 基因的高表达能抑制胰腺癌细胞增殖,初步显示了 RNAi 技术在胰腺癌基因治疗中的潜在作用。尽管该技术的作用机制还不十分清楚,但随着对 RNAi 技术的深入研究,相信 RNAi 技术将会成为肿瘤治疗中的一个重要组成部分。

参考文献:

- [1] Hsu JT, Chen HM, Wu RC, et al. Clinicopathologic features and outcomes following surgery for pancreatic adenosquamous carcinoma[J]. World J Surg Oncol, 2008, 6: 95.
- [2] Bianco R, Gelardi T, Damiano V, et al. Rational bases for the development of EGFR inhibitors for cancer treatment[J]. Int J Biochem Cell Biol, 2007, 39(7-8): 1416-1431.
- [3] Mao CP, Hung CF, Wu TC. Immunotherapeutic strategies employing RNA interference technology for the control of cancers [J]. J Biomed Sci, 2007, 14(1): 15-29.
- [4] 黄坊,赵颖海. RNAi 技术在鼻咽癌研究中的应用进展[J]. 肿瘤防治研究, 2009, 36(1): 73-75.
- [5] Aagaard L, Rossi JJ. RNAi therapeutics: principles, prospects and challenges[J]. Adv Drug Deliv Rev, 2007, 59(2-3): 75-86.
- [6] Ashihara E, Kawata E, Maekawa T. Future prospect of RNA interference for cancer therapies[J]. Curr Drug Targets, 2010, 11(3): 345-360.
- [7] Dykxhoorn DM, Chowdhury D, Lieberman J. RNA interference and cancer: endogenous pathways and therapeutic approaches [J]. Adv Exp Med Biol, 2008, 615: 299-329.
- [8] Hidalgo M, Abad A, Aranda E, et al. Consensus on the treatment of pancreatic cancer in Spain[J]. Clin Transl Oncol, 2009, 11(5): 290-301.
- [9] Modjtahedi H, Essapen S. Epidermal growth factor receptor inhibitors in cancer treatment: advances, challenges and opportunities[J]. Anticancer Drugs, 2009, 20(10): 851-855.
- [10] 杜伟,王杰军,何金. 大肠癌中 EGFR、c-erbB-2 及 VEGF 的表达与临床病理特征的关系[J]. 肿瘤防治研究, 2008, 35(3): 191-193.
- [11] Lurje G, Lenz HJ. EGFR signaling and drug discovery[J]. Oncology, 2009, 77(6): 400-410.

[编辑:周永红;校对:杨卉]